

# О ВЗАИМОДЕЙСТВИИ МИКРОВОЛН СО СТРУКТУРОЙ ПОЛУПРОВОДНИКОВАЯ ПЛАСТИНА-ЗЕРКАЛО

О. Г. Кошелев, Е. А. Форш

(кафедра физики полупроводников)

Для определения бесконтактным способом неоднородности проводимости по толщине полупроводниковой пластины рассмотрена интерференция микроволны в структуре слабо поглощающей пластина–воздушный промежуток–зеркало. Показано, что измерения коэффициента отражения такой структуры при определенных значениях длин волн и воздушных промежутков позволяют найти приближенные значения коэффициентов разложения в ряд Фурье проводимости пластины.

Взаимодействие микроволн в одномерном приближении со структурой полупроводниковая (п/п) пластина–воздушный зазор–зеркало исследовалось с различными целями. Например, в работах [1, 2] отражение от такой структуры рассматривалось в связи с разработкой фотоуправляемых модуляторов и транспарантов микроволн. Измерение временной зависимости отражения микроволн от п/п пластины после выключения света широко используется для определения времени жизни  $\tau_r$  неравновесных носителей заряда. В работе [3] было показано, что применение зеркала за п/п пластиной позволяет существенно повысить чувствительность таких измерений. В работе [4] подробно исследовано влияние условий освещения, параметров п/п пластины и величины воздушного зазора  $L_b$  на результаты измерений  $\tau_r$ .

В работе [5] проанализирована возможность определения неоднородностей проводимости  $\sigma$  слабо поглощающей п/п пластины по измерениям зависимости коэффициента отражения  $R$  и сдвига фаз отраженной волны от  $L_b$  при фиксированной длине волны  $\lambda$ . Путем расчетов в одномерном приближении показано, что такие измерения для рассматриваемой структуры позволяют определять зависимость  $\sigma$  от координаты  $x$  в направлении распространения волны, если имеется априорная информация о ее характере.

Цель настоящей работы — показать, что измерения  $R$  рассматриваемой структуры при нескольких длинах волн и положениях зеркала позволяют определить коэффициенты разложения в ряд Фурье зависимости  $\sigma(x)$  для слабо поглощающей пластины, оптическая толщина которой кратна целому числу полуволн.

Рассмотрим взаимодействие электромагнитной волны со слабо поглощающей п/п пластиной толщины  $L$ , для которой выполняются условия  $\chi(x)/N \ll 1$ ,  $N \cong \text{const}$ , где  $\chi(x)$  и  $N$  — мнимая и вещественная части показателя преломления пластины. В этом случае

$$R = 1 - \gamma \int_{-L/2}^{L/2} \alpha(x) \varepsilon^2(x) dx, \quad (1)$$

где  $x = 0$  соответствует середине пластины,  $\alpha$  [ $\text{см}^{-1}$ ] — линейный коэффициент поглощения,

$\varepsilon(x) = E(x)/E_0$ ,  $E(x)$  — амплитуда электрического поля интерферирующих волн внутри пластины,  $E_0$  — амплитуда падающей на пластину волны,  $\gamma = N/N_b$ ,  $N_b$  — показатель преломления среды, прилегающей к пластине. Можно показать, что при  $\alpha L \ll 1$  и длинах волн, удовлетворяющих условию  $\lambda_m = 2NL/m$  ( $m = 1, \dots, M$ ),

$$|\varepsilon_m(x, \varphi)|^2 = B_+(\varphi) + (-1)^m [B_-(\varphi) \cos(2k_m x) + 2\gamma^{-1} \sin(2\varphi) \sin(2k_m x)], \quad (2)$$

где  $B_\pm(\varphi) = 2[\sin^2 \varphi \pm \gamma^{-2} \cos^2 \varphi]$ ,  $k_m = \pi m/L$ ,  $\varphi$  — сдвиг фаз при прохождении волны от пластины до зеркала. Здесь и далее индекс  $m$  означает, что соответствующая величина относится к случаю, когда  $\lambda = \lambda_m$ . Вычисленные по формуле (2) зависимости  $\varepsilon_m^2$  от  $x$  при  $L = 0, 3$  мм,  $N = 3, 4$ ,  $m = 1$  и  $\varphi = 0, \pi/4, \pi/2, 3\pi/4$  показаны на рис. 1 точечными кривыми. Здесь же пунктирными линиями показаны зависимости  $\varepsilon_m^2(x, \pi/2)$ , полученные путем численных расчетов с помощью рекуррентных формул для многослойных структур [6] при тех же значениях  $L$ ,  $N$ ,  $m$  и  $\varphi$ . При этом пластина рассматривалась как структура, состоящая из 160 однородных слоев. Как видно, данные расчетов согласуются, значения  $\varepsilon_1$  в интерференционных экстремумах и положения этих экстремумов существенно зависят от  $\varphi$ .

Введем обозначения:

$$y_1(x) = \frac{1}{4} [\gamma^2 \varepsilon_m^2(x, 0) + \varepsilon_m^2(x, \pi/2)], \quad (3)$$

$$y_2(x) = \frac{(-1)^m}{4} [\varepsilon_m^2(x, \pi/2) - \gamma^2 \varepsilon_m^2(x, 0)], \quad (4)$$

$$y_3(x) = \frac{(-1)^m}{4} \gamma [\varepsilon_m^2(x, \pi/4) - \varepsilon_m^2(x, 3\pi/4)]. \quad (5)$$

Тогда  $y_1(x) = 1$ ,  $y_2(x) = \cos(2k_m x)$ ,  $y_3(x) = \sin(2k_m x)$ .

Следовательно, интегралы  $\frac{2}{L} \int_{-L/2}^{L/2} \alpha_m(x) y_i(x) dx$  при  $i = 1, 2, 3$  представляют собой коэффициенты разложения  $\alpha_m(x)$  в ряд Фурье ( $a_{0m}$ ,  $a_m$ ,  $b_m$  соответственно). При поглощении на свободных носителях заряда и выполнении неравенства  $\omega_m \tau \ll 1$ , где

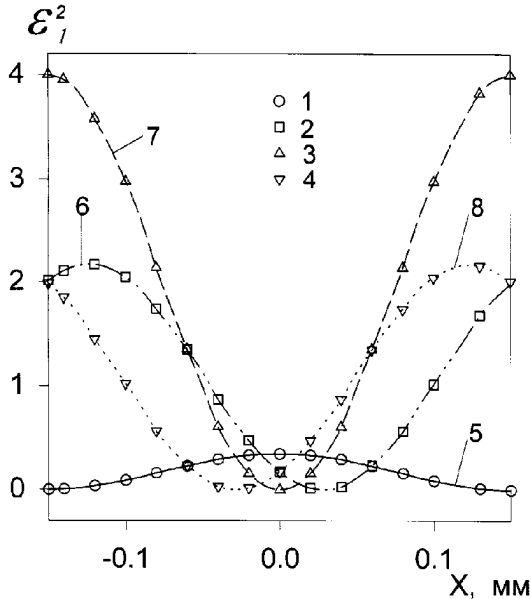


Рис. 1. Зависимости  $\varepsilon_1^2$  от  $x$  стоячей волны в непоглощающей пластине кремния при различных сдвигах фаз  $\varphi$ , полученные по формуле (2) (точечные кривые 1–4) и путем численных расчетов по рекуррентным формулам для многослойных структур [6] (кривые 5–8):  $\lambda = 2NL$ ,  $N = 3, 4$ ,  $L = 0, 3$  мм,  $\varphi = 0$  (1, 5),  $\pi/4$  (2, 6),  $\pi/2$  (3, 7) и  $3\pi/4$  (4, 8)

$\omega_m$  — угловая частота,  $\tau$  — среднее время релаксации импульса носителей тока,  $\alpha_m(x) = Z\sigma(x)/N$  ( $Z = 377$  Ом — волновое сопротивление вакуума). В этом случае величины  $a_{0m}$ ,  $a_m$  и  $b_m$  с точностью до множителя  $Z/N$  равны коэффициентам разложения  $\sigma(x)$  в ряд Фурье. Итак, измерения значений  $R$  при рассмотренных выше условиях позволяют найти достаточно плавную зависимость  $\sigma(x)$  с точностью, определяемой значением  $M$ .

Однако практически представляет интерес случай, когда условие  $\alpha L \ll 1$  не выполняется строго. Например, в п/п электронике широко используются пластины кремния с  $\rho = 20 \div 4$  Ом·см ( $\rho = 1/\sigma$ ), что соответствует  $\alpha_1 L = 0,16 \div 0,83$  ( $\chi_1 = 0,09 \div 0,47$ ) при  $\omega_m \tau \ll 1$  и  $L = 0,3$  мм. Можно показать, что с учетом поглощения величина  $\varepsilon_m^2(x, \varphi)$  для однородной пластины равна

$$\varepsilon_m^2(x, \varphi) = \frac{1}{C(m, \varphi)} \left\{ B_+(\varphi) \operatorname{ch}(\alpha_m x - \beta_m) + (-1)^m [B_-(\varphi) \cos(2k_m x) + 2\gamma^{-1} \sin(2\varphi) \sin(2k_m x)] \right\}, \quad (6)$$

где  $\beta_m = \alpha_m L/2$ ,  $B_+$ ,  $B_-$  имеют прежние значения, а

$$C(m, \varphi) = (\operatorname{ch} \beta_m + \gamma^{-1} \operatorname{sh} \beta_m)^2 \cos^2 \varphi + (\operatorname{ch} \beta_m + \gamma \operatorname{sh} \beta_m)^2 \sin^2 \varphi. \quad (7)$$

Для иллюстрации точности этих выражений на рис. 2 точечными кривыми показаны зависимости  $\varepsilon_1^2(x, \pi/2)$ , вычисленные по формуле (6) при  $\rho = 1000, 100, 10$  и  $4$  Ом·см (кривые 1–4). Здесь

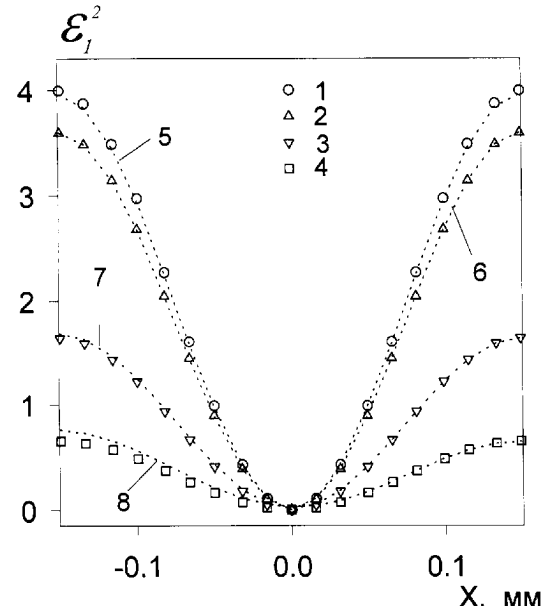


Рис. 2. Зависимости  $\varepsilon_1^2$  от  $x$  стоячей волны в поглощающей пластине кремния, полученные приближенно по формуле (6) (точечные кривые 1–4) и путем численных расчетов по рекуррентным формулам для многослойных структур [6] (пунктирные кривые 5–8) при  $\rho = 1000$  (1, 5),  $100$  (2, 6),  $10$  (3, 7) и  $4$  Ом·см (4, 8) для  $L = 0,3$  мм,  $N = 3, 4$ ,  $m = 1$ ,  $\varphi = \pi/2$

же приведены зависимости  $\varepsilon_1^2(x, \pi/2)$  (кривые 5–8), полученные путем таких же численных расчетов, как для кривых 5–8 на рис. 1, при тех же значениях  $L$ ,  $N$ ,  $m$  и  $\rho$ . Как видно, при  $\rho \geq 10$  Ом·см ( $\alpha_m L \leq 0,3$ ) результаты обоих расчетов согласуются. С учетом поглощения

$$y_1(x) \cong \frac{1}{4} [\gamma^2 C(m, 0) \varepsilon_m^2(x, 0) + C(m, \pi/2) \varepsilon_m^2(x, \pi/2)], \quad (8)$$

$$y_2(x) \cong \frac{(-1)^m}{4} [C(m, \pi/2) \varepsilon_m^2(x, \pi/2) - \gamma^2 C(m, 0) \varepsilon_m^2(x, 0)], \quad (9)$$

$$y_3(x) \cong \frac{(-1)^m}{4} \gamma [C(m, \pi/4) \varepsilon_m^2(x, \pi/4) - C(m, -\pi/4) \varepsilon_m^2(x, -\pi/4)]. \quad (10)$$

На рис. 3 показаны зависимости  $y_1(x)$ ,  $y_2(x)$ ,  $y_3(x)$ , вычисленные по формулам (8)–(10) при значениях  $\varepsilon_1^2(x, \varphi)$ , соответствующих  $\rho = 1000, 10$  и  $4$  Ом·см и тех же  $L$ ,  $N$  и  $m$ . Фактически при  $\rho = 1000$  Ом·см  $y_1(x) = 1$ ,  $y_2(x) = \cos(2\pi x/L)$  и  $y_3(x) = \sin(2\pi x/L)$ . Как видно, при  $10$  Ом·см зависимости  $y_1(x)$ ,  $y_2(x)$  и  $y_3(x)$  почти такие же, как при  $\rho = 1000$  Ом·см (различие в максимумах менее 5%,  $\alpha_m L \leq 0,2$ ), хотя значения  $\varepsilon_1^2(x, \varphi)$  различаются более чем в 2 раза. Такие же зависимости получаются в случае  $\rho(x) \neq \text{const}$ , если  $\rho(x) > 10$  Ом·см. Расхождение становится существенным лишь при  $\rho \leq 4$  Ом·см.

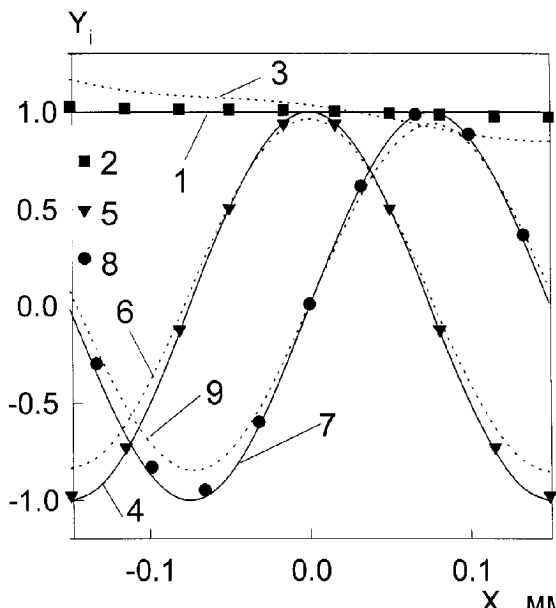


Рис. 3. Зависимости  $y_1$  от  $x$  (кривые 1–3),  $y_2$  от  $x$  (кривые 4–6),  $y_3$  от  $x$  (кривые 7–9), полученные по формулам (8)–(10) при  $\rho = 1000$  (1, 4, 7), 10 (2, 5, 8) и 4 Ом·см (3, 6, 9) для  $L = 0, 3$  мм,  $N = 3, 4$ ,  $m = 1$

Следовательно, при  $\alpha_m L \leq 0, 3$

$$\alpha_{0m} \cong \frac{1}{2L} [\gamma C(m, 0) A(m, 0) + \gamma^{-1} C(m, \pi/2) A(m, \pi/2)], \quad (11)$$

$$\alpha_m \cong \frac{(-1)^m}{2L} [\gamma^{-1} C(m, \pi/2) A(m, \pi/2) - \gamma C(m, 0) A(m, 0)], \quad (12)$$

$$b_m \cong \frac{(-1)^m}{2L} [C(m, \pi/4) A(m, \pi/4) - C(m, 3\pi/4) A(m, 3\pi/4)], \quad (13)$$

где  $A(m, \varphi) = 1 - R(m, \varphi)$ .

Таким образом, измеряя при рассмотренных выше условиях значения  $R$ , можно найти приближенную зависимость  $\sigma(x)$  в слабо поглощающей пластине. Такая методика открывает возможность восстановления профилей  $\sigma(x)$  при сравнительно небольшом числе измерений.

#### Литература

1. Jacobs H., Morris G., Hofer R.C. // J. Opt. Soc. Am. 1967. **57**, No. 8. P. 993.
2. Farhat N.H. // IEEE Trans. Antennas Propag. 1980. **28**, No. 48. P. 476.
3. Гостищев Л.Н., Любивый В.Г. // А. с. 983595 СССР, М. Кл. 3 Г01 Р 31/26 (H01 L21/66). Опубл. 23.12.1982.
4. Schothaler M., Brendel R. // J. Appl. Phys. 1995. **50**, No. 1. P. 3162.
5. Магди Фахим, Пирогов Ю.А. // Вестн. Моск. ун-та. Физ. Астрон. 1982. No. 3. С. 52 (Moscow University Phys. Bull. 1982. No. 3. P. 59).
6. Бернинг П.Х. // Физика тонких пленок. / Под ред. Г. Хасса. М., 1967. Т. 1. С. 91.

Поступила в редакцию  
08.07.98

УДК 621.315.592

## АНОМАЛЬНАЯ КИНЕТИКА ЭФФЕКТА СТЕБЛЕРА–ВРОНСКОГО В ВЫСОКООМНЫХ СЛОЯХ $a$ -Si:H, СЛАБО ЛЕГИРОВАННЫХ БОРОМ

И. А. Курова, Н. Н. Ормонт, А. Л. Громадин

(кафедра физики полупроводников)

Обнаружена аномальная немонотонная кинетика эффекта Стеблера–Вронского в слабо легированных бором пленках  $a$ -Si:H с уровнем Ферми, расположенным вблизи середины запрещенной зоны. Аномальность заключается в том, что и во время освещения, и после его выключения величина измеряемой темновой проводимости выше равновесной и характер ее немонотонной кинетики одинаков. В рамках модели образования и релаксации быстрых и медленных метастабильных состояний — оборванных связей кремния и фотоактивированных атомов бора — показано, что при выключении света может наблюдаться смена типа проводимости от электронного к дырочному, определяющая аномальную кинетику релаксации.

Эффект Стеблера–Вронского — уменьшение проводимости и фотопроводимости пленок  $a$ -Si:H во время освещения — был открыт в 1977 г. [1], но до сих пор привлекает внимание исследователей, так как его природа и механизм до конца не ясны. В настоящей работе исследовался эффект Стеблера–Вронского в высокоомных пленках  $a$ -Si:H, слабо легированных бором.

Электрические и фотоэлектрические свойства высокоомных слоев  $a$ -Si:H определяют важнейшие характеристики приборов на их основе и  $p$ - $i$ - $n$ -структур. Одним из распространенных способов получения  $i$ -слоев является слабое легирование  $a$ -Si:H бором из газовой фазы во время роста. В нелегированных слоях  $a$ -Si:H уровень Ферми расположен в верхней половине запрещенной зоны. Слабое легиро-